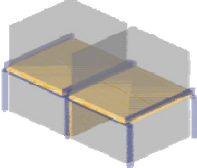
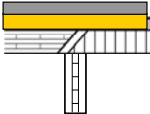
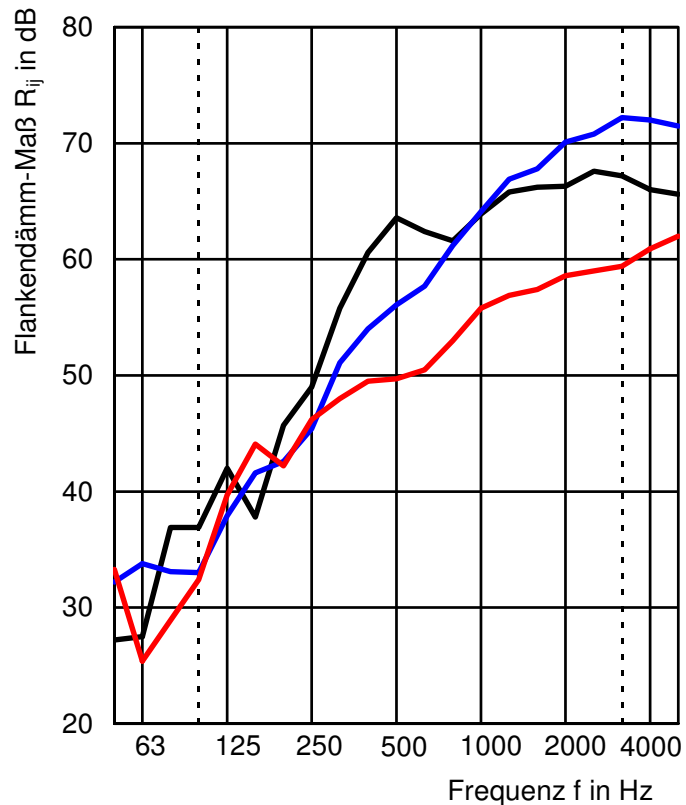


Horizontaler T-Stoß, Decke durchlaufend

Aufbauvariante	1a_A_02	
Flanke	50 mm Zementestrich 40 mm MW-Trittschalldämmplatte EP 1 60 mm Edelsplitt 5/8 160 mm BSP	$m' = 94 \text{ kg/m}^2$ $m' = 74 \text{ kg/m}^2$
Trennwand	80 mm BSP	$m' = 39 \text{ kg/m}^2$
$m'_{\text{Wand}} / m'_{\text{Decke}}$	0,23	
Kopplungslänge	$l_{ij} = 4,3 \text{ m}$	 
Bauteilfläche Trennwand	$S_{Dd} = 10,8 \text{ m}^2$	
Bauteilfläche Flanke SR	$S_F = 20 \text{ m}^2$	
Bauteilfläche Flanke ER	$S_f = 21,5 \text{ m}^2$	
Empfangsraumvolumen	$V_E = 64,5 \text{ m}^3$	
Senderraumvolumen	$V_S = 65,2 \text{ m}^3$	

Bewertetes Flankendämm-Maß	$R_{Ff,w} = 61 \text{ dB}$
Bewertetes Flankendämm-Maß	$R_{Df,w}^* = 57 \text{ dB}$
Bewertetes Flankendämm-Maß	$R_{Fd,w}^* = 54 \text{ dB}$

f	X18		
in Hz	R_{Ff} in dB	R_{Df}^* in dB	R_{Fd}^* in dB
50	27,2	32,2	33,3
63	27,5	33,8	25,4
80	36,9	33,1	28,9
100	36,9	33,0	32,4
125	42,0	37,9	39,7
160	37,8	41,6	44,1
200	45,7	42,6	42,2
250	49,0	45,4	46,2
315	55,8	51,1	48,0
400	60,6	54,0	49,5
500	63,6	56,1	49,7
630	62,4	57,7	50,5
800	61,6	61,2	53,0
1000	63,9	64,1	55,8
1250	65,8	66,9	56,9
1600	66,2	67,8	57,4
2000	66,3	70,1	58,6
2500	67,6	70,8	59,0
3150	67,2	72,2	59,4
4000	66,0	72,0	60,9
5000	65,6	71,5	62,0



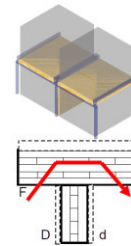
* Flankendämm-Maß berechnet

	Flankendämm-Maß R_{Ff}
	Flankendämm-Maß R_{Df}
	Flankendämm-Maß R_{Fd}

Kopplungsgrößen Stoßtyp 1a_A, Übertragungsweg Ff:

Prüf.Nr.:	Flanke	Trennwand	$\frac{m_{Wand}^2}{m_{Decke}}$
1a_A_02	160 BSP / 60 Splitt / 40 EP1 / 50 ZE	80 BSP	0,23
1a_A_05	160 BSP / 40 EP1 / 50 ZE	2x18 GF / 80 BSP / 2x18 GF	1,73
1a_A_07	160 BSP / 60 Splitt / 40 EP1 / 50 ZE	140 BSP	0,41

Abmessungen
$l_{ij} = 4,3 \text{ m}$
$S_{Dd} = 10,8 \text{ m}^2$
$S_F = 21,5 \text{ m}^2$
$S_I = 20 \text{ m}^2$



1a_A_02						1a_A_05						1a_A_07											
$D_{v,Ff}$ in dB						K_{Ff} in dB						$D_{v,Ff}$ in dB						K_{Ff} in dB					
f in Hz						\bar{x}	σ	f in Hz						\bar{x}	σ	f in Hz						\bar{x}	σ
50	6,5	11,3	5,5			7,8	3,1	50	2,3	10,2	2,7			5,0	4,5	50	6,5	11,3	5,5			7,8	3,1
63	7,7	9,8	7,2			8,3	1,4	63	4,5	8,4	4,2			5,7	2,3	63	7,7	9,8	7,2			8,3	1,4
80	8,5	7,9	7,4			7,9	0,5	80	5,8	5,3	5,4			5,5	0,3	80	8,5	7,9	7,4			7,9	0,5
100	8,3	7,5	8,5			8,1	0,5	100	4,8	5,0	5,3			5,1	0,3	100	8,3	7,5	8,5			8,1	0,5
125	10,4	8,3	11,0			9,9	1,4	125	6,6	4,6	8,0			6,4	1,7	125	10,4	8,3	11,0			9,9	1,4
160	7,7	11,1	8,4			9,1	1,8	160	3,3	7,7	5,0			5,3	2,2	160	7,7	11,1	8,4			9,1	1,8
200	9,2	12,0	7,0			9,4	2,5	200	3,4	8,6	2,9			5,0	3,2	200	9,2	12,0	7,0			9,4	2,5
250	9,6	12,9	7,0			9,9	2,9	250	3,1	9,1	0,1			4,1	4,6	250	9,6	12,9	7,0			9,9	2,9
315	8,6	10,6	7,1			8,8	1,7	315	0,9	5,8	-2,2			1,5	4,0	315	8,6	10,6	7,1			8,8	1,7
400	3,4	8,5	3,2			5,0	3,0	400	-5,3	3,7	-6,4			-2,7	5,6	400	3,4	8,5	3,2			5,0	3,0
500	2,2	10,1	0,8			4,4	5,0	500	-5,9	4,9	-7,8			-2,9	6,8	500	2,2	10,1	0,8			4,4	5,0
630	5,1	9,0	5,2			6,4	2,2	630	-2,4	3,2	-2,4			-0,6	3,2	630	5,1	9,0	5,2			6,4	2,2
800	8,4	7,9	8,3			8,2	0,2	800	-1,8	2,4	-0,5			0,1	2,2	800	8,4	7,9	8,3			8,2	0,2
1000	11,5	7,4	12,9			10,6	2,9	1000	0,2	1,9	2,0			1,4	1,0	1000	11,5	7,4	12,9			10,6	2,9
1250	13,0	4,2	11,0			9,4	4,6	1250	1,7	-1,2	-0,3			0,1	1,5	1250	13,0	4,2	11,0			9,4	4,6
1600	10,1	5,0	13,0			9,4	4,0	1600	-0,5	-0,8	1,4			0,0	1,2	1600	10,1	5,0	13,0			9,4	4,0
2000	11,4	4,2	6,8			7,5	3,7	2000	0,6	-1,8	-4,1			-1,8	2,3	2000	11,4	4,2	6,8			7,5	3,7
2500	17,5	5,1	9,5			10,7	6,3	2500	6,2	-1,2	-1,8			1,1	4,5	2500	17,5	5,1	9,5			10,7	6,3
3150	13,1	4,4	9,0			8,9	4,3	3150	2,2	-2,7	-1,5			-0,7	2,5	3150	13,1	4,4	9,0			8,9	4,3
4000	7,8	7,3	9,7			8,2	1,3	4000	-1,9	-0,2	0,4			-0,6	1,2	4000	7,8	7,3	9,7			8,2	1,3
5000	9,5	7,4	4,9			7,3	2,3	5000	-1,1	0,2	-4,3			-1,8	2,3	5000	9,5	7,4	4,9			7,3	2,3
$D_{v,Ff,n}$	1,1	2,3	0,1			1,2		K_{Ff}	-0,7	4,3	-1,6			0,6									

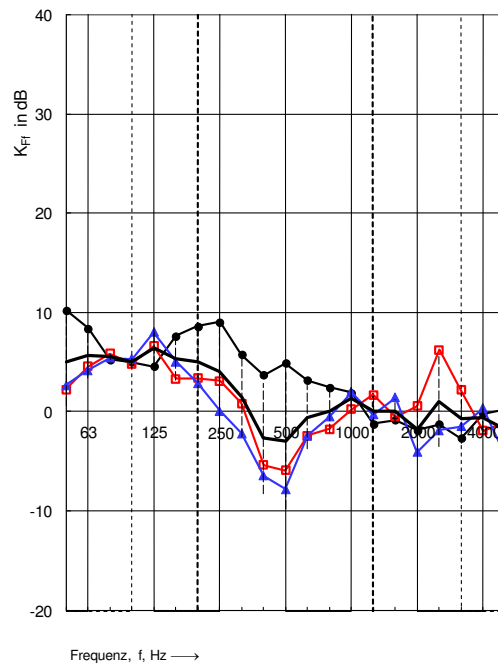
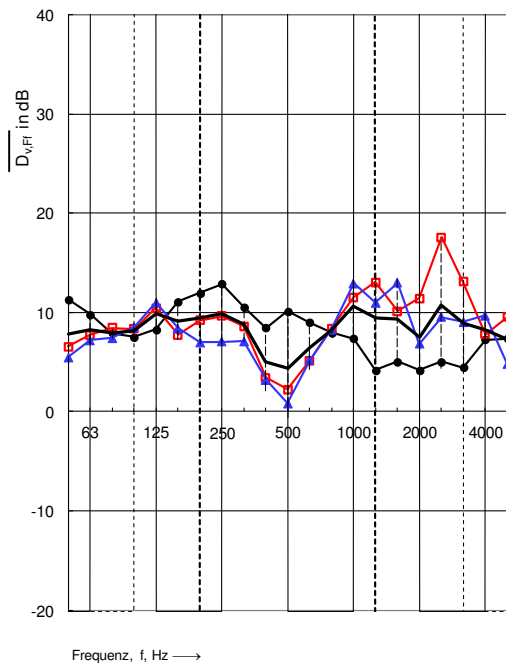
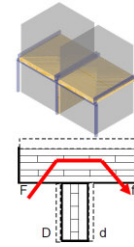


Abbildung 7 $\overline{D_{v,ij}}$, K_{ij} : Horizontaler T-Stoß – BSP Decke durchlaufend, Flanke und Trennteil z.T. beschwert: Messdaten $\overline{D_{v,Ff}}$ mit zugehörigen Messkurven (links), Messdaten K_{Ff} mit zugehörigen Messkurven (rechts)



Gesamt Verlustfaktoren der Stoßbauteile, Stoßtyp 1a_A, Übertragungsweg Ff:

Prüf.Nr.:	Flanke	Trennwand	$\frac{m^2_{Wand}}{m^2_{Decke}}$	Abmessungen
1a_A_02	160 BSP / 60 Splitt / 40 EP1 / 50 ZE	80 BSP	0,23	$l_{ij} = 4,3 \text{ m}$
1a_A_05	160 BSP / 40 EP1 / 50 ZE	2x18 GF / 80 BSP / 2x18 GF	1,73	$S_{Dd} = 10,8 \text{ m}^2$
1a_A_07	160 BSP / 60 Splitt / 40 EP1 / 50 ZE	140 BSP	0,41	$S_F = 21,5 \text{ m}^2$
				$S_i = 20 \text{ m}^2$



1a_A_02

1a_A_05

1a_A_07

1a_A_02

1a_A_05

1a_A_07

f in Hz	$\eta_{tot,F}$	\bar{x}	σ	f in Hz	$\eta_{tot,f}$	\bar{x}	σ
50	0,118	0,042	0,075	50	0,070	0,042	0,060
63	0,066	0,039	0,052	63	0,054	0,040	0,066
80	0,050	0,046	0,045	80	0,042	0,048	0,037
100	0,056	0,039	0,052	100	0,046	0,042	0,043
125	0,049	0,055	0,044	125	0,049	0,041	0,037
160	0,048	0,048	0,043	160	0,052	0,033	0,036
200	0,056	0,037	0,043	200	0,067	0,033	0,041
250	0,069	0,036	0,082	250	0,060	0,034	0,063
315	0,101	0,037	0,132	315	0,058	0,040	0,090
400	0,126	0,035	0,118	400	0,058	0,033	0,094
500	0,099	0,033	0,066	500	0,044	0,034	0,085
630	0,042	0,036	0,041	630	0,062	0,033	0,067
800	0,074	0,029	0,038	800	0,093	0,028	0,099
1000	0,080	0,025	0,057	1000	0,118	0,026	0,142
1250	0,079	0,022	0,069	1250	0,097	0,022	0,112
1600	0,049	0,024	0,061	1600	0,088	0,020	0,110
2000	0,052	0,021	0,047	2000	0,074	0,019	0,085
2500	0,050	0,018	0,055	2500	0,074	0,021	0,073
3150	0,042	0,020	0,036	3150	0,059	0,021	0,059
4000	0,023	0,017	0,022	4000	0,049	0,023	0,044
5000	0,032	0,016	0,020	5000	0,043	0,018	0,036

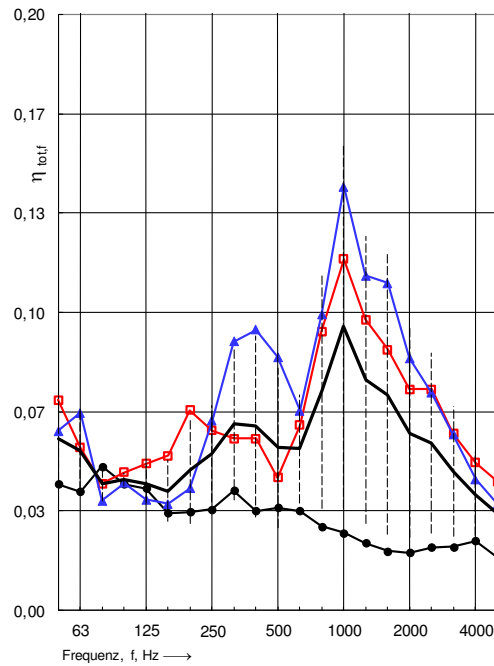
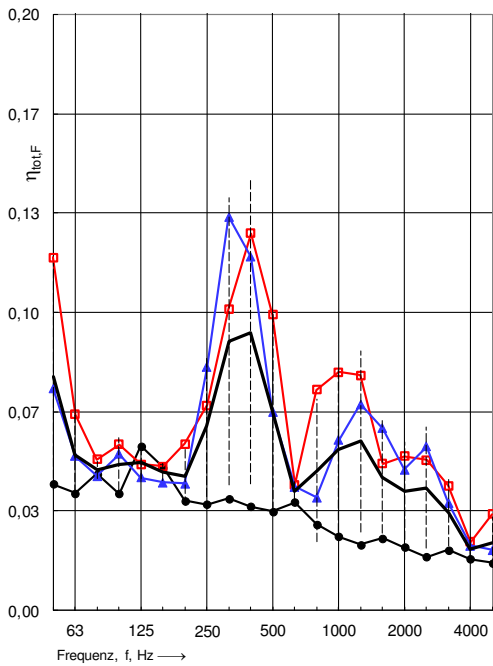
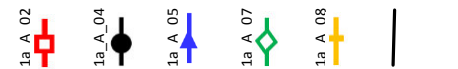
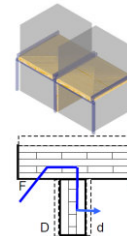


Abbildung 8 η_{tot} : Horizontaler T-Stoß – BSP Decke durchlaufend, Flanke und Trennbauteil z.T. beschwert: Messdaten $\eta_{tot,F}$ mit zugehörigen Messkurven (links), Messdaten $\eta_{tot,f}$ mit zugehörigen Messkurven (rechts)

Kopplungsgrößen Stoßtyp 1a_A, Übertragungsweg Fd:

Prüf.Nr.:	Flanke	Trennwand	$\frac{m_{Wand}'}{m_{Decke}}$
1a_A_02	160 BSP / 60 Splitt / 40 EP1 / 50 ZE	80 BSP	0,23
1a_A_04	160 BSP	12,5 GK / 80 BSP / 12,5 GK	0,8
1a_A_05	160 BSP / 40 EP1 / 50 ZE	2 x 18 GF / 80 BSP / 2 x 18 GF	1,73
1a_A_07	160 BSP / 60 Splitt / 40 EP1 / 50 ZE	140 BSP	0,41
1a_A_08	160 BSP	2 x 18 GF / 140 BSP / 2 x 18 GF	2,15

Abmessungen
$l_{ij} = 4,3 \text{ m}$
$S_{Dd} = 10,8 \text{ m}^2$
$S_F = 21,5 \text{ m}^2$
$S_I = 20 \text{ m}^2$



f in Hz	$D_{v,Fd}$ in dB					\bar{x}	σ
50	14,5	11,9	13,4	10,7	10,7	12,2	1,7
63	17,7	16,6	16,2	12,0	14,5	15,4	2,2
80	15,6	16,2	16,0	9,0	14,8	14,3	3,0
100	16,4	14,6	14,3	12,0	12,3	13,9	1,8
125	15,1	16,9	16,3	13,6	15,8	15,5	1,3
160	19,4	18,3	16,4	12,8	14,8	16,3	2,7
200	20,2	17,6	16,7	13,6	13,4	16,3	2,9
250	20,2	16,7	16,4	14,6	18,2	17,2	2,1
315	19,8	18,0	16,4	15,2	18,1	17,5	1,8
400	18,4	18,3	15,2	14,1	18,0	16,8	2,0
500	18,2	19,2	16,4	12,9	18,0	16,9	2,5
630	15,7	17,7	18,7	13,5	23,3	17,8	3,7
800	14,9	16,2	17,2	11,8	20,9	16,2	3,3
1000	20,8	13,5	18,1	15,5	23,3	18,2	3,9
1250	22,0	15,5	18,0	15,4	23,7	18,9	3,8
1600	18,1	18,0	20,2	16,6	26,8	19,9	4,0
2000	17,9	15,7	22,9	17,9	28,6	20,6	5,2
2500	19,8	19,9	25,0	21,1	33,2	23,8	5,7
3150	21,0	17,6	27,2	20,9	30,9	23,5	5,4
4000	17,7	19,3	26,2	15,2	28,4	21,4	5,7
5000	15,9	20,6	23,6	12,7	29,3	20,4	6,5
$D_{v,Fd,n}$	13,4	11,5	11,5	8,6	14,2	11,8	

f in Hz	K_{Fd} in dB					\bar{x}	σ
50	12,2	10,1	11,1	8,8	9,4	10,3	1,3
63	15,4	14,8	13,6	10,4	13,6	13,6	1,9
80	15,5	15,1	13,4	7,4	11,7	12,6	3,3
100	14,8	13,9	11,3	10,9	9,1	12,0	2,3
125	12,7	16,1	12,0	11,6	11,5	12,8	1,9
160	16,1	15,7	10,5	9,6	10,3	12,4	3,1
200	16,4	14,5	11,5	11,3	9,2	12,6	2,9
250	15,5	13,0	10,7	9,2	13,2	12,3	2,4
315	13,6	14,1	11,5	8,7	12,3	12,0	2,1
400	11,9	14,2	9,9	7,8	13,3	11,4	2,6
500	11,5	15,2	10,2	6,3	13,2	11,3	3,3
630	9,5	12,9	12,7	8,1	20,1	12,7	4,7
800	8,1	11,5	11,6	5,9	16,1	10,6	3,9
1000	14,3	9,5	13,0	8,6	18,4	12,8	3,9
1250	14,2	11,2	13,5	7,9	19,4	13,2	4,2
1600	10,1	13,2	15,8	9,0	22,9	14,2	5,6
2000	10,1	11,4	18,4	10,6	26,3	15,4	7,0
2500	11,6	15,5	19,8	13,5	30,2	18,1	7,4
3150	13,2	13,2	22,0	13,9	29,2	18,3	7,1
4000	10,9	15,4	21,5	9,5	24,7	16,4	6,6
5000	8,5	16,9	19,3	6,9	25,2	15,4	7,6
K_{Fd}	12,8	12,9	11,6	8,2	15,0	12,1	

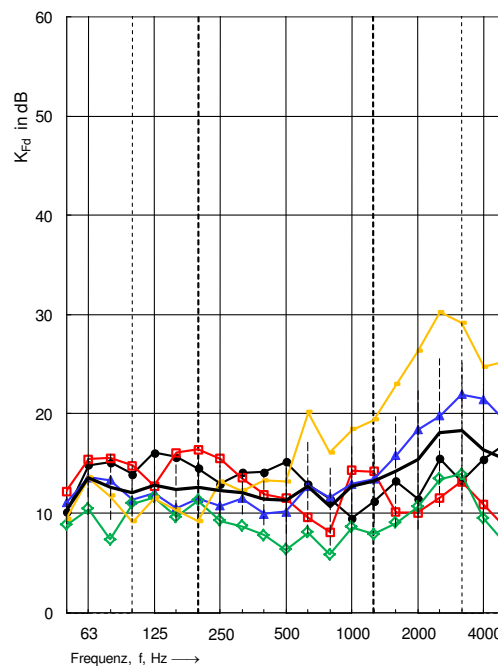
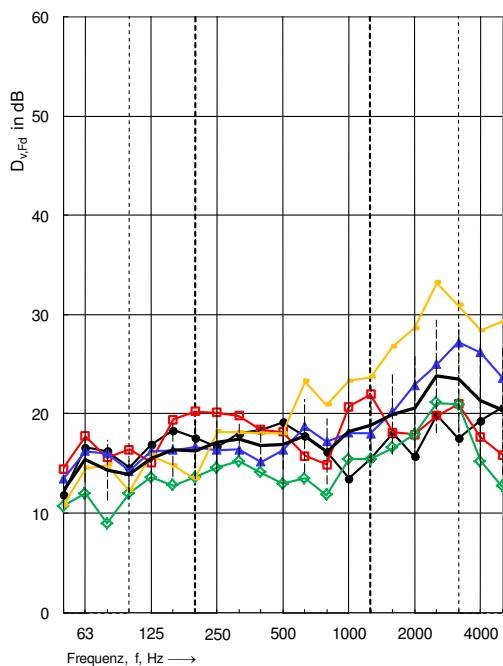
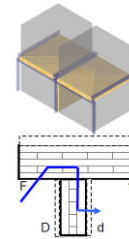


Abbildung 9 $D_{v,ij}$, K_{ij} : Horizontaler T-Stoß – BSP Decke durchlaufend, Flanke und Trennbauteil z.T. beschwert: Messdaten $D_{v,Fd}$ mit zugehörigen Messkurven (links), Messdaten K_{Fd} mit zugehörigen Messkurven (rechts)

Gesamt Verlustfaktoren der Stoßbauteile, Stoßtyp 1a_A, Übertragungsweg Fd:

Prüf.Nr.:	Flanke	Trennwand	m_{Wand}^2 / m_{Decke}	Abmessungen
1a_A_02	160 BSP / 60 Splitt / 40 EP1 / 50 ZE	80 BSP	0,23	$l_{ij} = 4,3 \text{ m}$
1a_A_04	160 BSP	12,5 GK / 80 BSP / 12,5 GK	0,8	$S_{Dd} = 10,8 \text{ m}^2$
1a_A_05	160 BSP / 40 EP1 / 50 ZE	2 x 18 GF / 80 BSP / 2 x 18 GF	1,73	$S_F = 21,5 \text{ m}^2$
1a_A_07	160 BSP / 60 Splitt / 40 EP1 / 50 ZE	140 BSP	0,41	$S_i = 20 \text{ m}^2$
1a_A_08	160 BSP	2 x 18 GF / 140 BSP / 2 x 18 GF	2,15	



c	1a_A_02							1a_A_04							1a_A_05							1a_A_07							1a_A_08						
	f in Hz	$\eta_{tot,F}$	\bar{x}	σ	f in Hz	$\eta_{tot,d}$	\bar{x}	σ	f in Hz	$\eta_{tot,F}$	\bar{x}	σ	f in Hz	$\eta_{tot,d}$	\bar{x}	σ	f in Hz	$\eta_{tot,F}$	\bar{x}	σ	f in Hz	$\eta_{tot,d}$	\bar{x}	σ											
50	0,090	0,081	0,046	0,075	0,046	0,068	0,020	50	0,057	0,055	0,132	0,070	0,080	0,079	0,032																				
63	0,062	0,061	0,046	0,052	0,026	0,049	0,015	63	0,072	0,057	0,109	0,062	0,090	0,078	0,021																				
80	0,028	0,052	0,042	0,045	0,042	0,042	0,009	80	0,046	0,038	0,097	0,057	0,120	0,071	0,035																				
100	0,048	0,035	0,042	0,052	0,045	0,044	0,007	100	0,043	0,037	0,086	0,030	0,091	0,057	0,029																				
125	0,056	0,037	0,054	0,044	0,047	0,048	0,008	125	0,042	0,029	0,099	0,044	0,118	0,067	0,039																				
160	0,048	0,060	0,052	0,043	0,044	0,049	0,007	160	0,061	0,034	0,168	0,061	0,106	0,086	0,053																				
200	0,054	0,071	0,040	0,037	0,042	0,049	0,014	200	0,052	0,028	0,128	0,039	0,081	0,066	0,040																				
250	0,066	0,069	0,036	0,082	0,037	0,058	0,020	250	0,051	0,030	0,140	0,056	0,105	0,076	0,045																				
315	0,121	0,064	0,033	0,132	0,037	0,077	0,047	315	0,046	0,029	0,086	0,047	0,123	0,066	0,038																				
400	0,104	0,063	0,033	0,118	0,027	0,069	0,041	400	0,047	0,026	0,081	0,038	0,082	0,055	0,025																				
500	0,105	0,047	0,034	0,092	0,021	0,060	0,037	500	0,041	0,026	0,098	0,046	0,088	0,060	0,031																				
630	0,071	0,056	0,032	0,047	0,022	0,046	0,020	630	0,038	0,025	0,074	0,040	0,030	0,041	0,019																				
800	0,072	0,047	0,030	0,045	0,023	0,044	0,019	800	0,039	0,022	0,052	0,042	0,048	0,041	0,011																				
1000	0,058	0,028	0,024	0,057	0,023	0,038	0,018	1000	0,033	0,022	0,042	0,041	0,040	0,036	0,008																				
1250	0,077	0,030	0,018	0,069	0,018	0,042	0,029	1250	0,036	0,019	0,034	0,036	0,032	0,031	0,007																				
1600	0,071	0,029	0,018	0,061	0,019	0,039	0,025	1600	0,035	0,019	0,025	0,032	0,019	0,026	0,007																				
2000	0,065	0,020	0,019	0,047	0,020	0,034	0,021	2000	0,028	0,017	0,020	0,030	0,007	0,020	0,009																				
2500	0,057	0,016	0,021	0,055	0,021	0,034	0,020	2500	0,031	0,018	0,020	0,024	0,007	0,020	0,009																				
3150	0,046	0,012	0,019	0,036	0,013	0,025	0,015	3150	0,024	0,018	0,018	0,022	0,005	0,017	0,007																				
4000	0,023	0,013	0,012	0,022	0,012	0,016	0,006	4000	0,024	0,011	0,017	0,016	0,011	0,016	0,005																				
5000	0,027	0,012	0,009	0,020	0,009	0,016	0,008	5000	0,021	0,009	0,016	0,014	0,014	0,015	0,005																				

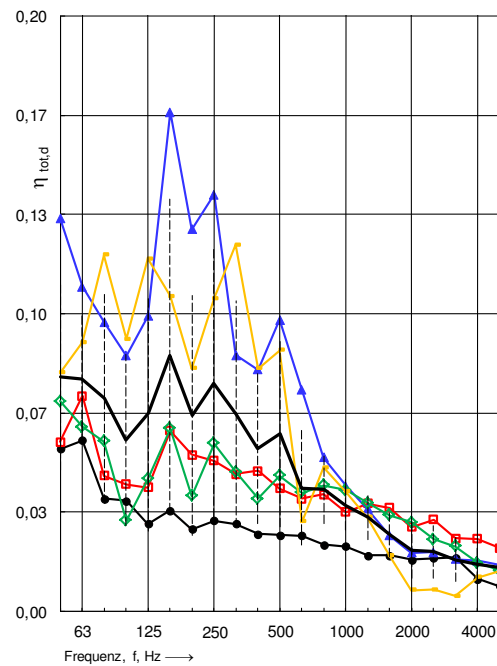
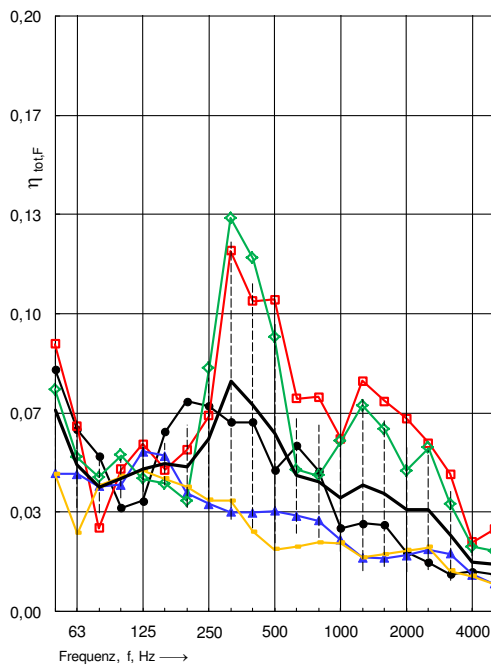
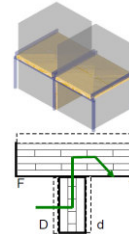


Abbildung 10 η_{tot} : Horizontaler T-Stoß – BSP Decke durchlaufend, Flanke und Trennbauteil z.T. beschwert: Messdaten $\eta_{tot,F}$ mit zugehörigen Messkurven (links), Messdaten $\eta_{tot,d}$ mit zugehörigen Messkurven (rechts)

Kopplungsgrößen Stoßtyp 1a_A, Übertragungsweg Df:

Prüf.Nr.:	Flanke	Trennwand	$\frac{m_{Wand}}{m_{Decke}}$	Abmessungen
1a_A_02	160 BSP / 60 Splitt / 40 EP1 / 50 ZE	80 BSP	0,23	$l_{ij} = 4,3 \text{ m}$
1a_A_04	160 BSP	12,5 GK / 80 BSP / 12,5 GK	0,8	$S_{Dd} = 10,8 \text{ m}^2$
1a_A_05	160 BSP / 40 EP1 / 50 ZE	2 x 18 GF / 80 BSP / 2 x 18 GF	1,73	$S_F = 21,5 \text{ m}^2$
1a_A_08	160 BSP	2 x 18 GF / 140 BSP / 2 x 18 GF	2,15	$S_I = 20 \text{ m}^2$



1a_A_02						1a_A_04						1a_A_05						1a_A_08					
f in Hz	$D_{v,Df}$ in dB				\bar{x}	σ	f in Hz	K_{Df} in dB				\bar{x}	σ										
50	15,0	12,5	15,7	11,9	13,7	1,9	50	12,6	11,4	13,1	10,1	11,8	1,4										
63	16,3	14,4	16,4	12,0	14,8	2,1	63	14,6	13,4	12,6	10,3	12,7	1,8										
80	10,6	17,0	13,2	14,9	13,9	2,7	80	10,5	16,3	9,1	12,9	12,2	3,2										
100	12,8	12,1	12,8	12,0	12,4	0,4	100	11,8	12,0	10,0	9,3	10,8	1,3										
125	12,9	15,7	13,7	14,7	14,2	1,2	125	11,0	14,6	9,8	10,1	11,4	2,2										
160	14,9	17,9	16,0	15,3	16,0	1,3	160	11,7	15,4	11,5	10,7	12,3	2,1										
200	16,9	17,2	18,0	16,1	17,0	0,8	200	12,7	14,4	13,6	11,6	13,1	1,2										
250	19,0	15,8	17,5	17,0	17,3	1,3	250	15,2	12,5	12,8	11,5	13,0	1,6										
315	18,6	16,0	17,3	17,1	17,2	1,1	315	15,0	12,6	12,8	11,8	13,0	1,4										
400	15,8	17,6	15,5	16,8	16,4	1,0	400	11,5	13,6	10,6	11,8	11,9	1,3										
500	18,0	17,7	17,0	17,4	17,5	0,5	500	13,1	14,0	12,0	12,6	12,9	0,9										
630	19,5	18,9	18,6	21,3	19,6	1,2	630	13,7	14,4	13,3	16,2	14,4	1,3										
800	21,9	19,1	20,2	20,8	20,5	1,2	800	15,2	14,3	14,7	15,8	15,0	0,7										
1000	19,6	15,4	20,1	18,9	18,5	2,1	1000	12,0	12,0	15,0	13,3	13,1	1,4										
1250	21,5	18,4	19,3	22,0	20,3	1,7	1250	13,4	14,6	14,3	16,7	14,7	1,4										
1600	20,1	19,5	20,1	26,0	21,4	3,1	1600	11,5	14,8	15,3	21,1	15,7	4,0										
2000	22,3	18,3	21,1	25,8	21,9	3,1	2000	14,1	14,0	16,1	19,9	16,0	2,8										
2500	18,5	21,3	22,2	26,1	22,0	3,2	2500	10,1	17,3	17,0	20,3	16,2	4,3										
3150	18,2	21,6	22,3	27,1	22,3	3,7	3150	10,0	17,4	16,8	21,3	16,4	4,7										
4000	20,5	23,5	31,2	30,0	26,3	5,2	4000	12,9	19,1	26,7	24,4	20,8	6,2										
5000	20,0	23,9	30,7	32,9	26,9	6,0	5000	11,9	20,6	26,0	27,1	21,4	6,9										
$D_{v,Df,n}$	13,6	12,0	12,8	13,3	12,9		K_{Df}	13,5	13,6	13,2	13,5	13,5											

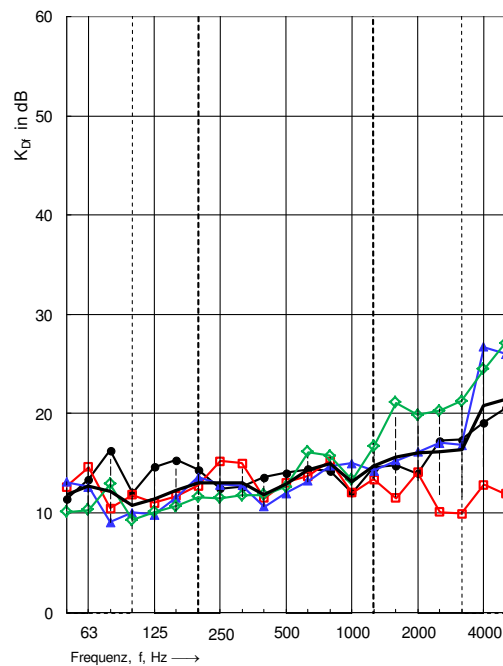
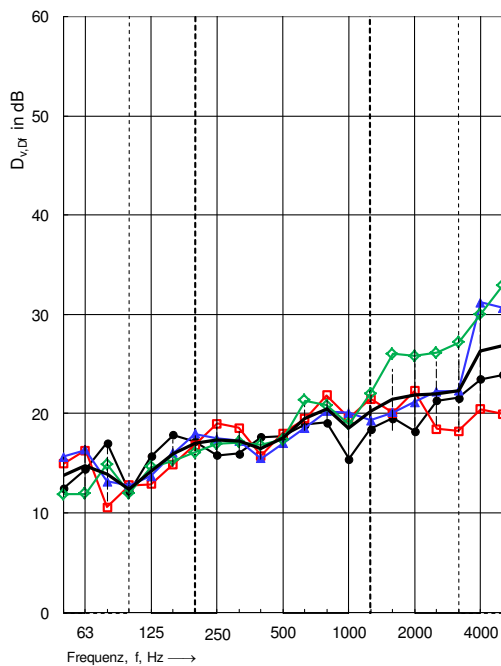
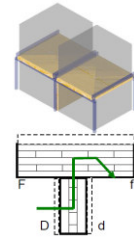


Abbildung 11 $D_{v,ij}$, K_{ij} : Horizontaler T-Stoß – BSP Decke durchlaufend, Flanke und Trennbauteil z.T. beschwert: Messdaten $D_{v,Df}$ mit zugehörigen Messkurven (links), Messdaten K_{Df} mit zugehörigen Messkurven (rechts)

Gesamt Verlustfaktoren der Stoßbauteile, Stoßtyp 1a_A, Übertragungsweg Df:

Prüf.Nr.:	Flanke	Trennwand	m_{Wand}^2 / m_{Decke}^2	Abmessungen
1a_A_02	160 BSP / 60 Splitt / 40 EP1 / 50 ZE	80 BSP	0,23	$l_{ij} = 4,3 \text{ m}$
1a_A_04	160 BSP	12,5 GK / 80 BSP / 12,5 GK	0,8	$S_{Dd} = 10,8 \text{ m}^2$
1a_A_05	160 BSP / 40 EP1 / 50 ZE	2 x 18 GF / 80 BSP / 2 x 18 GF	1,73	$S_F = 21,5 \text{ m}^2$
1a_A_08	160 BSP	2 x 18 GF / 140 BSP / 2 x 18 GF	2,15	$S_i = 20 \text{ m}^2$



1a_A_02							1a_A_04							1a_A_05							1a_A_08						
f in Hz	$\eta_{tot,D}$				\bar{x}	σ	f in Hz	$\eta_{tot,f}$				\bar{x}	σ	f in Hz	$\eta_{tot,D}$				\bar{x}	σ	f in Hz	$\eta_{tot,f}$				\bar{x}	σ
50	0,057	0,043	0,115	0,080	0,074	0,031	50	0,108	0,081	0,058	0,051	0,075	0,025	50	0,057	0,043	0,115	0,080	0,074	0,031	50	0,108	0,081	0,058	0,051	0,075	0,025
63	0,056	0,043	0,111	0,089	0,075	0,031	63	0,065	0,061	0,082	0,039	0,062	0,017	63	0,056	0,043	0,111	0,089	0,075	0,031	63	0,065	0,061	0,082	0,039	0,062	0,017
80	0,037	0,034	0,105	0,078	0,064	0,034	80	0,037	0,052	0,081	0,041	0,053	0,020	80	0,037	0,034	0,105	0,078	0,064	0,034	80	0,037	0,052	0,081	0,041	0,053	0,020
100	0,041	0,031	0,078	0,076	0,056	0,024	100	0,040	0,035	0,047	0,048	0,043	0,006	100	0,041	0,031	0,078	0,076	0,056	0,024	100	0,040	0,035	0,047	0,048	0,043	0,006
125	0,049	0,036	0,113	0,136	0,083	0,048	125	0,041	0,037	0,044	0,050	0,043	0,005	125	0,049	0,036	0,113	0,136	0,083	0,048	125	0,041	0,037	0,044	0,050	0,043	0,005
160	0,065	0,034	0,122	0,107	0,082	0,040	160	0,043	0,060	0,041	0,050	0,048	0,009	160	0,065	0,034	0,122	0,107	0,082	0,040	160	0,043	0,060	0,041	0,050	0,048	0,009
200	0,065	0,027	0,103	0,093	0,072	0,034	200	0,054	0,071	0,037	0,043	0,051	0,015	200	0,065	0,027	0,103	0,093	0,072	0,034	200	0,054	0,071	0,037	0,043	0,051	0,015
250	0,047	0,028	0,111	0,111	0,074	0,043	250	0,051	0,069	0,032	0,046	0,049	0,015	250	0,047	0,028	0,111	0,111	0,074	0,043	250	0,051	0,069	0,032	0,046	0,049	0,015
315	0,041	0,024	0,078	0,108	0,063	0,037	315	0,042	0,064	0,033	0,036	0,044	0,014	315	0,041	0,024	0,078	0,108	0,063	0,037	315	0,042	0,064	0,033	0,036	0,044	0,014
400	0,040	0,026	0,070	0,086	0,056	0,028	400	0,048	0,063	0,034	0,030	0,044	0,015	400	0,040	0,026	0,070	0,086	0,056	0,028	400	0,048	0,063	0,034	0,030	0,044	0,015
500	0,038	0,023	0,064	0,061	0,047	0,020	500	0,055	0,048	0,032	0,030	0,041	0,012	500	0,038	0,023	0,064	0,061	0,047	0,020	500	0,055	0,048	0,032	0,030	0,041	0,012
630	0,037	0,023	0,063	0,065	0,047	0,020	630	0,064	0,055	0,030	0,028	0,044	0,018	630	0,037	0,023	0,063	0,065	0,047	0,020	630	0,064	0,055	0,030	0,028	0,044	0,018
800	0,041	0,024	0,056	0,051	0,043	0,014	800	0,069	0,049	0,029	0,026	0,043	0,020	800	0,041	0,024	0,056	0,051	0,043	0,014	800	0,069	0,049	0,029	0,026	0,043	0,020
1000	0,033	0,021	0,042	0,048	0,036	0,012	1000	0,104	0,023	0,025	0,028	0,045	0,039	1000	0,033	0,021	0,042	0,048	0,036	0,012	1000	0,104	0,023	0,025	0,028	0,045	0,039
1250	0,037	0,021	0,036	0,038	0,033	0,008	1250	0,095	0,023	0,023	0,025	0,042	0,036	1250	0,037	0,021	0,036	0,038	0,033	0,008	1250	0,095	0,023	0,023	0,025	0,042	0,036
1600	0,035	0,022	0,027	0,026	0,028	0,006	1600	0,096	0,026	0,022	0,024	0,042	0,036	1600	0,035	0,022	0,027	0,026	0,028	0,006	1600	0,096	0,026	0,022	0,024	0,042	0,036
2000	0,029	0,023	0,024	0,033	0,027	0,005	2000	0,078	0,016	0,022	0,024	0,035	0,029	2000	0,029	0,023	0,024	0,033	0,027	0,005	2000	0,078	0,016	0,022	0,024	0,035	0,029
2500	0,028	0,020	0,021	0,027	0,024	0,004	2500	0,070	0,013	0,021	0,023	0,032	0,026	2500	0,028	0,020	0,021	0,027	0,024	0,004	2500	0,070	0,013	0,021	0,023	0,032	0,026
3150	0,029	0,019	0,017	0,025	0,022	0,005	3150	0,053	0,012	0,023	0,020	0,027	0,018	3150	0,029	0,019	0,017	0,025	0,022	0,005	3150	0,053	0,012	0,023	0,020	0,027	0,018
4000	0,021	0,017	0,014	0,019	0,018	0,003	4000	0,042	0,011	0,014	0,018	0,021	0,014	4000	0,021	0,017	0,014	0,019	0,018	0,003	4000	0,042	0,011	0,014	0,018	0,021	0,014
5000	0,020	0,011	0,011	0,017	0,015	0,005	5000	0,042	0,009	0,016	0,018	0,021	0,014	5000	0,020	0,011	0,011	0,017	0,015	0,005	5000	0,042	0,009	0,016	0,018	0,021	0,014

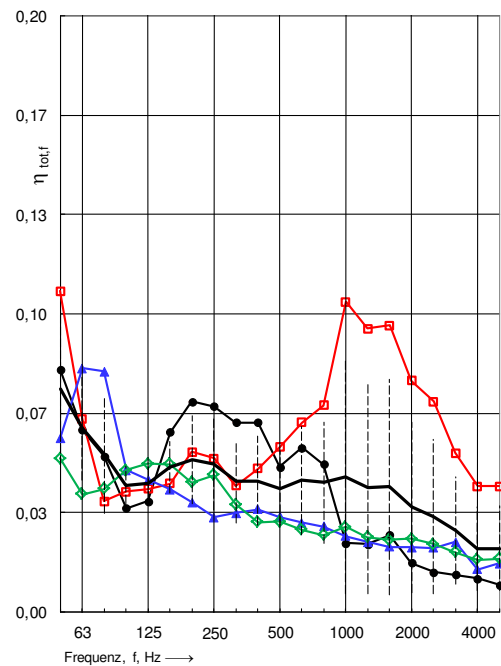
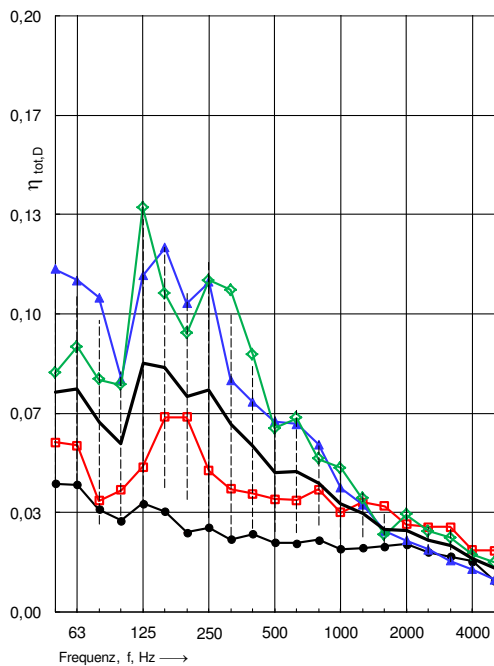


Abbildung 12 η_{tot} : Horizontaler T-Stoß – BSP Decke durchlaufend, Flanke und Trennbauteil z.T. beschwert: Messdaten $\eta_{tot,D}$ mit zugehörigen Messkurven (links), Messdaten $\eta_{tot,f}$ mit zugehörigen Messkurven (rechts)